



Raport

z badań poziomu natężenia pola elektrycznego
w otoczeniu stacji bazowej:

WRO1310

na podstawie sprawozdania P4/20/2023 udostępnionego przez A-CONNECT Anna Garwol-Porosa

Laboratorium prowadzące badania

A-CONNECT Anna Garwol-Porosa
Strażacka 3/2
58-370 Boguszów-Gorce
692 692 875

Zleceniodawca badań

P4 Sp. z o.o.

02-677 Warszawa
790 500 500
kontakt@play.pl

Nr akredytacji: AB 1284

Data wydania sprawozdania: 20.01.2023

Raport zawiera wybrane elementy sprawozdania i służy wyłącznie obrazowemu przedstawieniu informacji o danej instalacji. Raport nie może być wykorzystywany w postępowaniach administracyjnych.

Informacje ogólne

Zgodność z metodyką RMK: Tak

Ograniczenia: Na podstawie art. 122a ust. 1b ustawy Prawo ochrony środowiska (t.j. Dz.U. z 2020 r., poz. 1219, 1378, 1565, 2127, 2338, z 2021 r. poz. 802, 868, 1047, 1162, 1535.), pomiary PEM w lokalach mieszkalnych i użytkowych zlokalizowanych w obszarze pomiarowym badanej stacji bazowej nie zostały przeprowadzone.

Wykorzystanie w obszarze regulowanym: Tak

Przedmiot badań

Identyfikator stacji w UKE	WRO1310
Operator	P4 Sp. z o.o.
Współrzędne	16,9227277; 51,1553777
Rodzaj pracy	ciągła
Rodzaj wytwarzanego pola	stacjonarne

Miejsce badań

Otoczenie stacji bazowej WRO1310 w lokalizacji Wrocław, Królewiecka, dz. nr 10/3, AM15.

Cel badań

1. Zweryfikowanie zgodności z wymaganiami rozporządzenia Ministra Zdrowia z dnia 19 grudnia 2019 r.

Opis stacji bazowych

Tabela 1: Opis anten badanych stacji bazowych

Lp.	Identyfikator stacji w UKE	Typ Producent anteny	Azymut	H	EIRP	Pasma	Tilt	Tilt w trakcie pomiarów
			[°]	[m]	[W]	[MHz]	[°]	[°]
1	WRO1310	ATR4518R6v06 Huawei	30	35,00	1130*	UMTS 900	0,0 - 10,0	5,0
LTE 1800						0,0 - 10,0	5,0	
LTE 2100		0,0 - 10,0	5,0					
LTE 1800		0,0 - 10,0	5,0					
LTE 2100		0,0 - 10,0	5,0					
LTE 2100		0,0 - 10,0	5,0					
2	WRO1310	ATR4518R6v06 Huawei	30	35,00	746*	LTE 800	0,0 - 10,0	5,0
LTE 2600						0,0 - 10,0	5,0	
LTE 2600		0,0 - 10,0	5,0					
LTE 2600		0,0 - 10,0	5,0					
LTE 2600		0,0 - 10,0	5,0					
LTE 2600		0,0 - 10,0	5,0					
3	WRO1310	ATR4518R6v06 Huawei	130	35,00	1130*	UMTS 900	0,0 - 10,0	5,0
LTE 1800						0,0 - 10,0	5,0	
LTE 2100		0,0 - 10,0	5,0					
LTE 1800		0,0 - 10,0	5,0					
LTE 2100		0,0 - 10,0	5,0					
LTE 2100		0,0 - 10,0	5,0					
4	WRO1310	ATR4518R6v06 Huawei	130	35,00	746*	LTE 800	0,0 - 10,0	5,0
LTE 2600						0,0 - 10,0	5,0	
LTE 2600		0,0 - 10,0	5,0					
LTE 2600		0,0 - 10,0	5,0					
LTE 2600		0,0 - 10,0	5,0					
LTE 2600		0,0 - 10,0	5,0					
5	WRO1310	ATR4518R6v06 Huawei	260	35,00	1130*	UMTS 900	0,0 - 10,0	5,0
LTE 1800						0,0 - 10,0	5,0	
LTE 2100		0,0 - 10,0	5,0					
LTE 1800		0,0 - 10,0	5,0					
LTE 2100		0,0 - 10,0	5,0					
LTE 2100		0,0 - 10,0	5,0					
6	WRO1310	ATR4518R6v06 Huawei	260	35,00	746*	LTE 800	0,0 - 10,0	5,0
LTE 2600						0,0 - 10,0	5,0	
LTE 2600		0,0 - 10,0	5,0					
LTE 2600		0,0 - 10,0	5,0					
LTE 2600		0,0 - 10,0	5,0					
LTE 2600		0,0 - 10,0	5,0					

* moc EIRP łączna dla wszystkich częstotliwości anteny

Warunki pomiarów

Pomiary w wyznaczonych punktach wykonano w następujących warunkach:

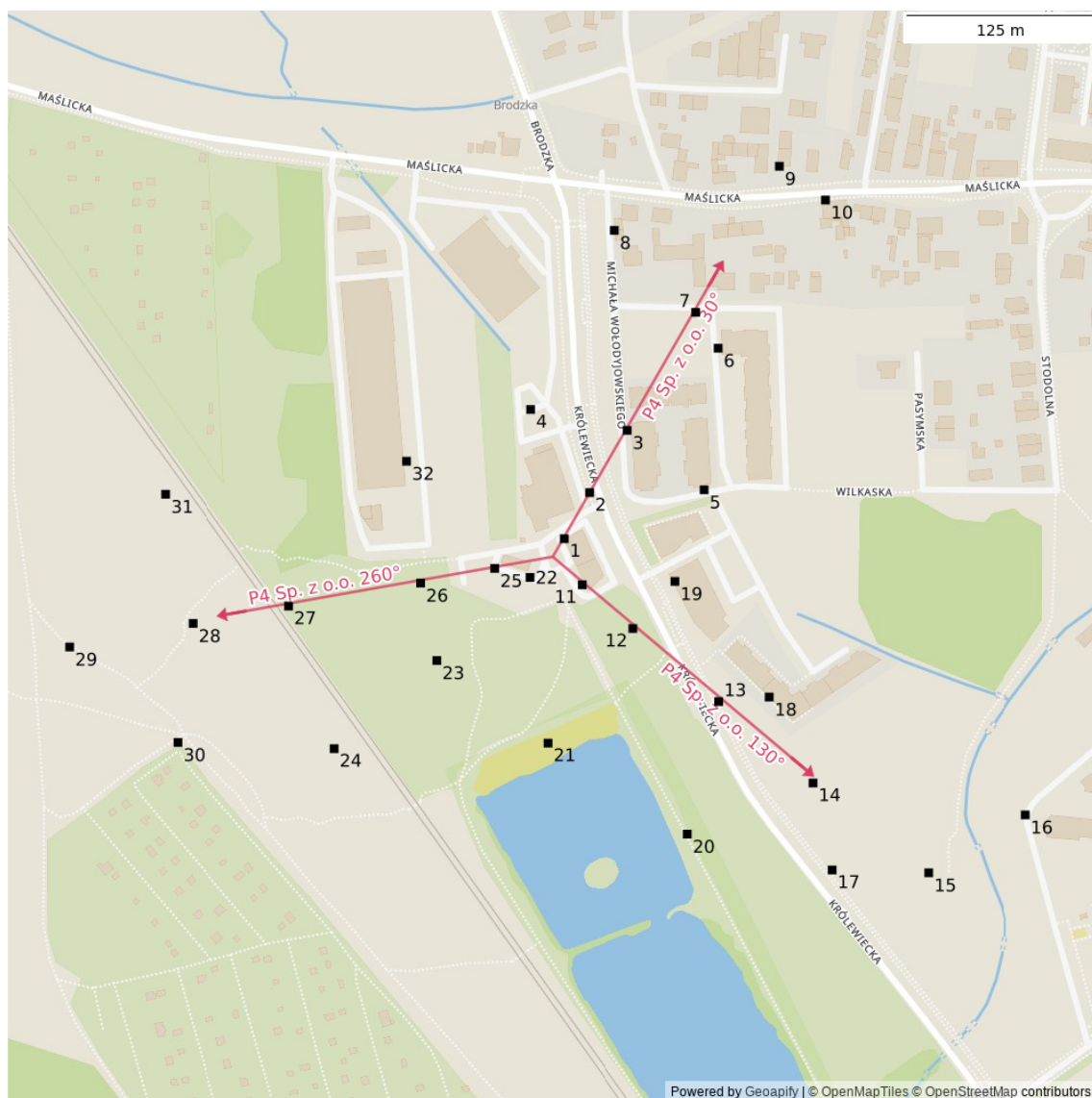
19.01.2023 13:00-14:00			
Warunki środowiskowe	Temperatura [°C]	Wilgotność [%]	Opady
Minimalna	2,5	65,8	brak
Maksymalna	2,6	68,3	

Aparatura

Tabela 2: Aparatura

MIERNIKI I SONDY					
Lp.	Typ / Nazwa	Model	Producent	Próg detekcji	Świadectwo wzorcowania
1a	miernik	NBM-520	Narda		LWiMP/W/069/22 z dn. 08.03.2022 wydane przez LWiMP Politechniki Wrocławskiej
1b	sonda	EF6091	Narda	0,50	
POZOSTAŁE					
Lp.	Typ / Nazwa	Model	Producent	Świadectwo wzorcowania	
2	termohigrometr	P330	DOSTMANN	47102/2016 z dn. 28.11.2016 wydane przez LAB-EL ELEKTRONIKA LABORATORYJNA ANDRZEJ ŁOBZOWSKI, MARIA ŁOBZOWSKA SP. J.	

Lokalizacje pionów pomiarowych



Rysunek 1: Plan terenu

Wyniki pomiarów szerokopasmowych

Tabela 3: Zestawienie lokalizacji pionów pomiarowych oraz wyników pomiarów natężenia pola elektrycznego, pomiary szerokopasmowe

Nazwa	Data	Współrzędne geograficzne	E	WM _E	H	WM _H
		[°]	[$\frac{V}{m}$]		[$\frac{A}{m}$]	
1	19.01.2023	16,9228380 51,1554860	0,95	0,034	0,003	0,035
2	19.01.2023	16,9230800 51,1557620	0,95	0,034	0,003	0,035
3	19.01.2023	16,9234390 51,1561350	0,81	0,029	0,002	0,029

Ciąg dalszy na następnej stronie

Tabela 3: Zestawienie lokalizacji pionów pomiarowych oraz wyników pomiarów natężenia pola elektrycznego, pomiary szerokopasmowe (c.d.)

Nazwa	Data	Współrzędne geograficzne	E	WM _E	H	WM _H
		[°]	[$\frac{V}{m}$]		[$\frac{A}{m}$]	
4	19.01.2023	16,9225160 51,1562600	0,95	0,034	0,003	0,035
5	19.01.2023	16,9241740 51,1557790	0,68	0,024	0,002	0,025
6	19.01.2023	16,9243080 51,1566270	0,81	0,029	0,002	0,029
7	19.01.2023	16,9240930 51,1568420	0,68	0,024	0,002	0,025
8	19.01.2023	16,9233160 51,1573330	0,95	0,034	0,003	0,035
9	19.01.2023	16,9248930 51,1577170	0,95	0,034	0,003	0,035
10	19.01.2023	16,9253330 51,1575150	0,81	0,029	0,002	0,029
11	19.01.2023	16,9230100 51,1552100	0,95	0,034	0,003	0,035
12	19.01.2023	16,9234930 51,1549480	0,68	0,024	0,002	0,025
13	19.01.2023	16,9243130 51,1545100	0,95	0,034	0,003	0,035
14	19.01.2023	16,9252150 51,1540220	0,68	0,024	0,002	0,025
15	19.01.2023	16,9263200 51,1534840	< 0,68	< 0,024	< 0,002	< 0,025
16	19.01.2023	16,9272420 51,1538310	< 0,68	< 0,024	< 0,002	< 0,025
17	19.01.2023	16,9253970 51,1535010	0,68	0,024	0,002	0,025
18	19.01.2023	16,9247960 51,1545370	0,81	0,029	0,002	0,029
19	19.01.2023	16,9238950 51,1552300	0,95	0,034	0,003	0,035
20	19.01.2023	16,9240130 51,1537160	< 0,68	< 0,024	< 0,002	< 0,025
21	19.01.2023	16,9226830 51,1542610	0,81	0,029	0,002	0,029
22	19.01.2023	16,9225110 51,1552540	0,95	0,034	0,003	0,035
23	19.01.2023	16,9216200 51,1547560	0,68	0,024	0,002	0,025
24	19.01.2023	16,9206390 51,1542280	0,95	0,034	0,003	0,035

Ciąg dalszy na następnej stronie

Tabela 3: Zestawienie lokalizacji pionów pomiarowych oraz wyników pomiarów natężenia pola elektrycznego, pomiary szerokopasmowe (c.d.)

Nazwa	Data	Współrzędne geograficzne	E	WM _E	H	WM _H
		[°]	[$\frac{V}{m}$]		[$\frac{A}{m}$]	
25	19.01.2023	16,9221730 51,1553080	0,95	0,034	0,003	0,035
26	19.01.2023	16,9214650 51,1552200	0,95	0,034	0,003	0,035
27	19.01.2023	16,9202040 51,1550820	0,95	0,034	0,003	0,035
28	19.01.2023	16,9192920 51,1549780	0,95	0,034	0,003	0,035
29	19.01.2023	16,9181120 51,1548370	0,95	0,034	0,003	0,035
30	19.01.2023	16,9191470 51,1542650	0,95	0,034	0,003	0,035
31	19.01.2023	16,9190290 51,1557520	1,08	0,039	0,003	0,039
32	19.01.2023	16,9213310 51,1559500	0,68	0,024	0,002	0,025

Podsumowanie

Na podstawie wyników pomiarów pola elektromagnetycznego przedstawionych w niniejszym raporcie o nr P4/20/2023 opracowanym przez A-CONNECT Anna Garwol-Porosa stwierdza się, że w otoczeniu stacji bazowej WRO1310 dopuszczalne poziomy pól elektromagnetycznych w środowisku, określone w przepisach wydanych na podstawie art. 122 ust. 1 ustawy z dnia 27 kwietnia 2001 r. – Prawo ochrony środowiska uznaje się za **dotrzymane**. Udokumentowano, że w żadnym pionie pomiarowym wartości wskaźnikowe WM_E oraz WM_H nie przekroczyły 1.

Osoby odpowiedzialne

Wykonanie pomiarów: b.d.

Opracowanie sprawozdania: b.d.

Autoryzacja sprawozdania: Łukasz Porosa (Kierownik ds. jakości)